

文章编号: 1000_0887(2005) 09_1067_09

解非光滑方程组的 Krylov 子空间迭代法*

孟泽红, 张建军

(上海大学 数学系, 上海 200444)

(程昌钧推荐)

摘要: 给出了求解非光滑方程组的 Newton_FOM 算法和 Newton_GMRES 算法, 证明了这些 Krylov 子空间方法的局部平方收敛性. 数值结果表明了算法的有效性.

关键词: 非光滑方程组; Newton_FOM 算法; Newton_GMRES 算法

中图分类号: O241.7 文献标识码: A

引言

考虑非光滑方程组

$$F(\mathbf{y}) = 0 \quad (1)$$

的求解问题, 这里 $F: D \subseteq R^n \rightarrow R^n$. 1993 年, QI 和 SUN^[1] 给出了一个求解(1)的广义 Newton 法

$$\mathbf{y}_{k+1} = \mathbf{y}_k - \mathbf{V}_k^{-1} F(\mathbf{y}_k), \quad (2)$$

其中 $\mathbf{V}_k \in \partial F(\mathbf{y}_k)$ 是 F 的广义 Jacobi 矩阵^[2], $\partial F(\mathbf{y}) = \text{Co} \left\{ \lim_{\substack{\mathbf{y}_i \rightarrow \mathbf{y} \\ \mathbf{y}_i \in D_F}} F(\mathbf{y}_i) \right\}$, 并证明了算法的超

线性收敛性.

由于许多规划问题可以转化为非光滑方程组来求解, 非光滑方程组的求解问题因而引起了广泛的关注, 并且形成了一个新的研究热点^{[1],[3~8]}.

然而, 在实际应用中, 利用(2)求解非光滑方程组, \mathbf{V}_k 特别难于估计. 尤其对于大型问题更是如此. 此外, 如何有效地求解广义 Newton 方程组

$$\mathbf{V}_k \mathbf{x}_k + F(\mathbf{y}_k) = \mathbf{0} \quad (3)$$

也是值得深入研究的问题.

注意到, 求解线性方程组(3)的 FOM 算法和 GMRES 算法, 只需要矩阵 \mathbf{V}_k 与向量 \mathbf{u} 的乘积, 不需直接计算 \mathbf{V}_k . 因此, 在非光滑情形下, 可用 $F'(\mathbf{y}_k, \mathbf{u}) \approx [F(\mathbf{y}_k + \delta \mathbf{u}) - F(\mathbf{y}_k)] / \delta$ 近似代替 $\mathbf{V}_k \mathbf{u}$, 结合 FOM 算法或 GMRES 算法可得到一种求解(1)的嵌套算法. 该算法一方面克服了计算 \mathbf{V}_k 的困难, 另一方面有效地求解了(2), 因此特别适用.

已有很多作者考虑了非线性方程组的 Krylov 子空间迭代法^[9~11], 但是他们只是把问题局

* 收稿日期: 2003_07_13; 修订日期: 2005_05_08

基金项目: 上海高校发展基金资助项目(214348)

作者简介: 孟泽红(1978-), 女, 河北曲阳人, 博士(E-mail: zehongmeng78@163.com);

张建军(1967-), 男(联系人, Tel: + 86_21_66135519; E-mail: jjzhang@staff.shu.edu.cn).

限在光滑的情况。本文,我们考虑了非光滑的情形,实际上是对光滑情形的推广。

1 非光滑方程组的不精确牛顿法

我们首先引进非光滑问题的一些概念和性质。

定义 1.1 假如 $\partial F(y)$ 中的所有元素是非奇异的,则称 F 在 y 点是正则的。若在 y 的邻域内的任意一点都是正则的,则称 F 在 y 的邻域内是正则的。

定义 1.2^[1] 假如 F 是局部 Lipschitz 函数,并且对任意的 $h \in R^n, h \neq 0$, $\lim_{h \rightarrow 0} \left\{ Vh' : V \in \partial F(y + th') \right\}$ 存在,则称 F 在 y 处是半光滑的。

定义 1.3^[1] 设 F 在点 y 处是半光滑的。若对于任意的 $V \in \partial F(y + h), h \rightarrow 0$, 有 $\|Vh - F'(y, h)\| = O(\|h\|^2)$, 则称 F 在 y 处是 1_阶半光滑的。若在 y 的邻域内的任意一点都是 1_阶半光滑的,则称 F 在 y 的邻域内 1_阶半光滑。

引理 1.1^[5] 假如 F 在 y 处是正则的,则存在 $M > 0$ 使得 $M = \max\{\|V^{-1}\| : V \in \partial F(y)\}$ 。并且对于任意给定的 $\epsilon > 0$, 存在 y 的一个邻域 $N(y)$, 使得 F 在 $N(y)$ 内是正则的,且对任意 $V \in \partial F(x), x \in N(y)$, 有 $\|V^{-1}\| \leq M + \epsilon$ 。

引理 1.2^[1] 若 F 在 y 点处 1_阶半光滑,则对于任意的 $h \rightarrow 0$ 有

$$\|F(y + h) - F(y) - F'(y, h)\| = O(\|h\|^2)。$$

为研究 Newton_FOM 算法和 Newton_GMRES 算法的收敛性,首先考虑解非光滑方程组(1)的不精确牛顿法:

$$\begin{cases} y_{k+1} = y_k + x_k, \\ V_k x_k = -F(y_k) + r_k, \end{cases} \quad (4)$$

这里 $V_k \in \partial F(y_k), r_k$ 是残向量。

定理 1.1 $F: D \subseteq R^n \rightarrow R^n$ 是开凸集 $D \subseteq R^n$ 上的局部 Lipschitz 映射。设 F 在 $y^* \in D$ 处是 1_阶半光滑的和正则的,其中 $F(y^*) = 0$ 。若迭代序列 $\{y_k\}, k = 0, 1, 2, \dots$, 满足下述不等式:

$$\|V_k x_k + F(y_k)\| \leq \alpha \|F(y_k)\|^2, \quad (5)$$

其中 $V_k \in \partial F(y_k), \alpha > 0$, 则不精确牛顿法(4)局部平方收敛。

证明 因为 F 在 y^* 处是正则的,且是局部 Lipschitz 映射,由引理 1.1, 对任意的 $\epsilon > 0$, 存在 $\theta_1 > 0, M > 0$ 和 $L > 0$, 当 $\|y - y^*\| < \theta_1, V \in \partial F(y)$ 时,有 $\|V^{-1}\| \leq M, \|F(y)\| \leq L \|y - y^*\|$ 。

因为 F 是 1_阶半光滑的,故存在 $\delta \in (0, \theta_1)$ 和常数 $c > 0$, 当 $\|y - y^*\| \leq \delta, V \in \partial F(y)$ 时,有

$$\|V(y - y^*) - F'(y^*, y - y^*)\| \leq \frac{c}{2} \|y - y^*\|^2, \quad (6)$$

$$\|F(y) - F(y^*) - F'(y^*, y - y^*)\| \leq \frac{c}{2} \|y - y^*\|^2. \quad (7)$$

利用(6)、(7)可得

$$\begin{aligned} \|F(y) - F(y^*) - V(y - y^*)\| &\leq \\ &\|F(y) - F(y^*) - F'(y^*, y - y^*)\| + \\ &\|V(y - y^*) - F'(y^*, y - y^*)\| \leq \end{aligned}$$

$$c \|y - y^*\|^2,$$

于是, 当 $\|y_k - y^*\| \leq \delta$ 时,

$$\begin{aligned} \|y_{k+1} - y^*\| &= \|y_k - y^* + x_k\| \leq \|V_k^{-1}\| \|V_k(y_k - y^*) + V_k x_k\| \leq \\ &\|V_k^{-1}\| [\|V_k x_k + F(y_k)\| + \|F(y_k) - F(y^*) - V_k(y_k - y^*)\|] \leq \\ &M[\alpha \|F(y_k)\|^2 + c \|y_k - y^*\|^2] \leq \\ &M(\alpha^2 + c) \|y_k - y^*\|^2 = \beta \|y_k - y^*\|^2, \end{aligned}$$

因此, 利用归纳法可得不精确牛顿法局部平方收敛.

2 Newton_Krylov 子空间迭代法

2.1 Newton_FOM 算法

首先考虑线性方程组

$$Ax = b \quad (8)$$

的求解, 其中 $A = V_k$, $V_k \in \partial F(y_k)$, $b = -F(y_k)$. 求解 (8) 的 FOM 算法如下:

算法 1(FOM 算法)

步骤 1 计算 $r_0 = b - Ax_0$, 令 $u_1 = r_0 / \|r_0\|_2$, 其中 x_0 是初始近似.

步骤 2 对于 $j = 1, 2, \dots, m$ 计算:

$$h_{ij} = (Au_j, u_i) \quad (i = 1, \dots, j),$$

$$w_{j+1} = Au_j - \sum_{i=1}^j h_{ij} u_i, \quad h_{j+1,j} = \|w_{j+1}\|_2, \quad u_{j+1} = w_{j+1} / h_{j+1,j}.$$

步骤 3 计算 $x_m = x_0 + U_m H_m^{-1} U_m^T r_0$, 其中 $U_m = [u_1, \dots, u_m]$, H_m 是非零元为 h_{ij} 的 $m \times m$ 上 Hessenberg 矩阵.

由于在算法 1 中不需要直接计算 V_k , 而是需要 $V_k u$, 于是可以利用 $[F(y + \alpha u) - F(y)]/\alpha$ 来近似代替 $V_k u$, 结合 (2), 可得求解非光滑方程组 (1) 的 Newton_FOM 算法:

算法 2(Newton_FOM(N_F) 算法)

步骤 1 给定 $\epsilon > 0$, $\alpha > 0$. 选择初始近似 $y_0 \in R^n$, $k = 0$.

步骤 2 令 $q_0 = (F(y_k + \alpha_0 \hat{x}_0) - F(y_k)) / \alpha_0$, $\alpha_0 > 0$, 其 \hat{x}_0 是线性方程组 (8) 的解的初始近似.

$$\hat{r}_0 = -F(y_k) - q_0, \quad \beta = \|\hat{r}_0\|_2, \quad \hat{u}_1 = \hat{r}_0 / \beta, \quad q_1 = \hat{u}_1, \quad j = 0$$

步骤 3 $j = j + 1$.

$$q_{j+1} = (F(y_k + \alpha_j \hat{u}_j) - F(y_k)) / \alpha_j, \quad \alpha_j > 0, \quad h_{ij} = (q_{j+1}, \hat{u}_i), \quad i = 1, \dots, j,$$

$$\hat{w}_{j+1} = q_{j+1} - \sum_{i=1}^j h_{ij} \hat{u}_i, \quad h_{j+1,j} = \|\hat{w}_{j+1}\|_2, \quad \hat{u}_{j+1} = \hat{w}_{j+1} / h_{j+1,j}.$$

令 H_j 是非零元为 h_{ij} 的 $j \times j$ 的上 Hessenberg 矩阵, $U_j = [\hat{u}_1, \dots, \hat{u}_j]$. 计算 $\hat{x}_j = \hat{x}_0 + U_j H_j^{-1} U_j^T \hat{r}_0$, $\beta_j = \|\hat{r}_j\|_2 = \|F(y_k) + (F(y_k + \alpha_j \hat{x}_j) - F(y_k)) / \alpha_j\|_2$.

步骤 4 若 $\beta_j \leq \alpha \|F(y_k)\|_2^2$ 或 $j = n$, 则令 $m = j$ 且做下一步, 否则转步骤 3.

步骤 5 令 $y_{k+1} = y_k + x_m$.

步骤 6 若 $\|F(y_{k+1})\|_2 \leq \epsilon$, 结束. 否则, $k = k + 1$ 转步骤 2.

2.2 算法的收敛性分析

为了书写方便, 省去下标 k . 令 $\xi = q_{i+1} - A \hat{u}_i$, $i = 1, \dots, m$. 定义 $n \times n$ 矩阵 E_m 为 E_m

$= \mathcal{E}^m \mathbf{U}_m^T$, $\mathcal{E}^m = [\varepsilon_1, \dots, \varepsilon_m] \in R^{n \times m}$, 于是有

$$(\mathbf{A} + \mathbf{E}_m) \hat{\mathbf{u}}_i = \mathbf{A} \hat{\mathbf{u}}_i + \mathcal{E}^m \mathbf{U}_m^T \hat{\mathbf{u}}_i = \mathbf{A} \hat{\mathbf{u}}_i + \varepsilon_i = \mathbf{q}_{i+1} \quad (i = 1, \dots, m) \bullet$$

引理 2.1 设 $F: D \subseteq R^n \rightarrow R^n$ 是局部 Lipschitz 映射. 设 $F(\mathbf{y})$ 在 \mathbf{y} 处 1_阶半光滑. 则存在 $\gamma > 0, \delta > 0$, 使得当 $\|\sigma_0\| \|\hat{\mathbf{x}}_0\|_2 < \delta$ 且 $\mathbf{y} + \sigma_0 \hat{\mathbf{x}}_0 \in D$ 时, 有 $\|\varepsilon_0\|_2 = \|\mathbf{q}_0 - \mathbf{A} \hat{\mathbf{x}}_0\|_2 \leq (\gamma/2) \|\sigma_0\| \|\hat{\mathbf{x}}_0\|_2^2$ 和

$$\rho_m \leq \left(\frac{\gamma}{2}\right) \|\sigma_0\| \|\hat{\mathbf{x}}_0\|_2^2 + \rho_m + \left(\frac{\gamma}{2}\right) \|\sigma^m\|_2 \|\hat{\mathbf{z}}_m\|_2, \quad (9)$$

其中 $\rho_m = \|\hat{\mathbf{r}}_0 - (\mathbf{A} + \mathbf{E}_m) \hat{\mathbf{z}}_m\|_2$, $\rho_m = \|\mathbf{b} - \mathbf{A} \hat{\mathbf{x}}_m\|_2$.

证明 由于 $F(\mathbf{y})$ 在 \mathbf{y} 处是 1_阶半光滑的, 所以存在 $\delta > 0$, 当 $\|\mathbf{h}\|_2 < \delta$ 时有

$$\|\mathbf{V} \mathbf{h} - F'(\mathbf{y}, \mathbf{h})\|_2 = O(\|\mathbf{h}\|_2^2), \quad (10)$$

$$\|F(\mathbf{y} + \mathbf{h}) - F(\mathbf{y}) - F'(\mathbf{y}, \mathbf{h})\|_2 = O(\|\mathbf{h}\|_2^2), \quad (11)$$

所以存在 $\gamma > 0$, 当 $\|\mathbf{h}\|_2 < \delta$ 时,

$$\begin{aligned} \|F(\mathbf{y} + \mathbf{h}) - F(\mathbf{y}) - \mathbf{V} \mathbf{h}\|_2 &\leq \\ \|F(\mathbf{y} + \mathbf{h}) - F(\mathbf{y}) - F'(\mathbf{y}, \mathbf{h})\|_2 + \|\mathbf{V} \mathbf{h} - F'(\mathbf{y}, \mathbf{h})\|_2 &\leq \\ (\gamma/2) \|\mathbf{h}\|_2^2, \end{aligned} \quad (12)$$

令 $\varepsilon_0 = \mathbf{q}_0 - \mathbf{A} \hat{\mathbf{x}}_0$. 因为 $\|\sigma_0\| \|\hat{\mathbf{x}}_0\|_2 < \delta$, 所以由(12)有

$$\|\varepsilon_0\|_2 = \|\mathbf{q}_0 - \mathbf{A} \hat{\mathbf{x}}_0\|_2 \leq (\gamma/2) \|\sigma_0\| \|\hat{\mathbf{x}}_0\|_2^2$$

记 $\hat{\mathbf{z}}_m = \mathbf{U}_m \mathbf{H}_m^{-1} \mathbf{U}_m^T \hat{\mathbf{r}}_0 = \beta \mathbf{U}_m \mathbf{H}_m^{-1} \mathbf{e}_1$, 其中 $\beta = \|\hat{\mathbf{r}}_0\|_2$, 则由算法 2 可得 $\hat{\mathbf{x}}_m = \hat{\mathbf{x}}_0 + \hat{\mathbf{z}}_m$,

$$\hat{\mathbf{r}}_m = \mathbf{b} - \mathbf{A} \hat{\mathbf{x}}_m = \mathbf{b} - \mathbf{A}(\hat{\mathbf{x}}_0 + \hat{\mathbf{z}}_m) = \varepsilon_0 + (\hat{\mathbf{r}}_0 - (\mathbf{A} + \mathbf{E}_m) \hat{\mathbf{z}}_m) + \mathbf{E}_m \hat{\mathbf{z}}_m,$$

$$\begin{aligned} \rho_m = \|\hat{\mathbf{r}}_m\|_2 &\leq \|\varepsilon_0\|_2 + \|\hat{\mathbf{r}}_0 - (\mathbf{A} + \mathbf{E}_m) \hat{\mathbf{z}}_m\|_2 + \|\mathbf{E}_m \hat{\mathbf{z}}_m\|_2 \leq \\ (\gamma/2) \|\sigma_0\| \|\hat{\mathbf{x}}_0\|_2^2 + \|\hat{\mathbf{r}}_0 - (\mathbf{A} + \mathbf{E}_m) \hat{\mathbf{z}}_m\|_2 + \|\mathbf{E}_m \hat{\mathbf{z}}_m\|_2, \end{aligned}$$

因为 F 是 1_阶半光滑的, 所以由(12), 当 $(\|\sigma_1\|^2 + \dots + \|\sigma_m\|^2)^{(1/2)} < \delta$ 时, 有

$$\|F(\mathbf{y} + \alpha_i \hat{\mathbf{u}}_i) - F(\mathbf{y}) - \alpha_i \mathbf{V}_i \hat{\mathbf{u}}_i\|_2 \leq (\gamma/2) \sigma_i^2 \|\hat{\mathbf{u}}_i\|_2^2 \quad (i = 1, \dots, m),$$

由于 $\|\hat{\mathbf{u}}_i\|_2 = 1$, 所以有

$$\|\varepsilon_i\|_2 = \|\mathbf{q}_{i+1} - \mathbf{A} \hat{\mathbf{u}}_i\|_2 \leq (\gamma/2) \|\sigma_i\|,$$

$$\begin{aligned} \|\mathcal{E}^m\|_2 &\leq \|\mathcal{E}^m\|_F = (\|\varepsilon_1\|_2^2 + \dots + \|\varepsilon_m\|_2^2)^{1/2} \leq \\ (\gamma/2) (\sigma_1^2 + \dots + \sigma_m^2)^{1/2} &= (\gamma/2) \|\sigma^m\|_2, \end{aligned}$$

其中 $\sigma^m = (\sigma_1, \dots, \sigma_m)^T \in R^m$. 于是

$$\begin{aligned} \rho_m &\leq (\gamma/2) \|\sigma_0\| \|\hat{\mathbf{x}}_0\|_2^2 + \rho_m + \|\mathcal{E}^m\|_2 \|\mathbf{V}_m^T\|_2 \|\hat{\mathbf{z}}_m\|_2 \leq \\ (\gamma/2) \|\sigma_0\| \|\hat{\mathbf{x}}_0\|_2^2 + \rho_m + (\gamma/2) \|\sigma^m\|_2 \|\hat{\mathbf{z}}_m\|_2. \end{aligned}$$

引理 2.2^[9] 设 \mathbf{A} 非奇异, 若在算法 1 中 $\mathbf{w}_{m+1} = \mathbf{0}$, 则 \mathbf{H}_m^{-1} 存在且 \mathbf{z}_m 是 $\mathbf{A} \mathbf{z} = \mathbf{r}_0$ 的精确解.

定理 2.1 $F: D \subseteq R^n \rightarrow R^n$ 是局部 Lipschitz 映射, 假设 F 在 \mathbf{y} 处是 1_阶半光滑的, 且是正则的. 设 $\hat{\mathbf{x}}_0$ 是 \mathbf{x}^* 的初始近似, 其中 $\mathbf{x}^* = \mathbf{A}^{-1} \mathbf{b}$. 给定 $\alpha > 0$, 选 β, δ 足够小, 使得

$$\delta \gamma \|\mathbf{A}^{-1}\|_2 < 1, \quad (13)$$

$$(\beta \gamma / 2) \|\hat{\mathbf{x}}_0\|_2^2 + \delta \gamma \|\mathbf{A}^{-1}\|_2 (\|\mathbf{b} - \mathbf{A} \hat{\mathbf{x}}_0\|_2 + (\beta \gamma / 2) \|\hat{\mathbf{x}}_0\|_2^2) \leq$$

$$\frac{1}{2} \alpha \|F(\mathbf{y})\|_2^2, \quad (14)$$

$$\mathbf{y} + \mathbf{v} \in D, \|\mathbf{v}\|_2 \leq \delta, \quad \forall \mathbf{v} \in R^n, \quad (15)$$

选 $\sigma^n = (\sigma_1, \dots, \sigma_n)^T$, 使 $\|\sigma^n\|_2 \leq \delta$, $|\sigma_0| \leq \beta$, $|\sigma_0| \|\hat{x}_0\|_2 \leq \delta$, 则存在 $m \in \{0, \dots, n\}$ 使得

$$\rho_m = \|b - A\hat{x}_m\|_2 \leq \alpha \|F(y)\|_2^2.$$

证明 由假设条件(13)

$$\|A^{-1}E_m\|_2 \leq \|A^{-1}\|_2 \|E_m\|_2 \leq \|A^{-1}\|_2 \|\varepsilon^m\|_2 \leq \|A^{-1}\|_2 \frac{\delta\gamma}{2} < \frac{1}{2},$$

所以 $A + E_m = A(I + A^{-1}E_m)$ 非奇异, 且

$$\begin{aligned} \|(A + E_m)^{-1}\|_2 &\leq \frac{\|A^{-1}\|_2}{1 - \|A^{-1}(A - (A + E_m))\|_2} \leq \\ &\frac{\|A^{-1}\|_2}{1 - \|A^{-1}E_m\|_2} \leq 2\|A^{-1}\|_2. \end{aligned}$$

记 $\hat{r}_0 = b - q_0$, 则由引理 2.1

$$\begin{aligned} \|\hat{r}_0\|_2 &= \|b - q_0\|_2 = \|(b - A\hat{x}_0) - \varepsilon_0\|_2 \leq \\ &\|b - A\hat{x}_0\|_2 + \frac{\gamma}{2} |\sigma_0| \|\hat{x}_0\|_2^2, \end{aligned}$$

设 z_m^* 为 $(A + E_m)z = \hat{r}_0$ 的解, 则

$$\begin{aligned} \|z_m^*\|_2 &= \|(A + E_m)^{-1}\hat{r}_0\|_2 \leq 2\|A^{-1}\|_2 \|\hat{r}_0\|_2, \\ \hat{z}_m - z_m^* &= (A + E_m)^{-1}[(A + E_m)\hat{z}_m - \hat{r}_0], \\ \|\hat{z}_m\|_2 &\leq 2\|A^{-1}\|_2 \|\hat{r}_0\|_2 + 2\|A^{-1}\|_2 \rho_m = 2\|A^{-1}\|_2 (\|\hat{r}_0\|_2 + \rho_m), \end{aligned}$$

其中 $\rho_m = \|\hat{r}_0 - (A + E_m)\hat{z}_m\|_2$. 所以由引理 2.1

$$\begin{aligned} \rho_m &\leq \frac{\gamma}{2} |\sigma_0| \|\hat{x}_0\|_2^2 + \rho_m + \frac{\gamma}{2} \|\sigma^m\|_2 \|\hat{z}_m\|_2 \leq \\ &\frac{\gamma}{2} |\sigma_0| \|\hat{x}_0\|_2^2 + \rho_m + \frac{\delta\gamma}{2} \|A^{-1}\|_2 (\|\hat{r}_0\|_2 + \rho_m) \leq \\ &\frac{\beta\gamma}{2} \|\hat{x}_0\|_2 + \delta\gamma \|A^{-1}\|_2 (\|b - A\hat{x}_0\|_2 + \frac{\beta\gamma}{2} \|\hat{x}_0\|_2^2) + \rho_m (1 + \delta\gamma \|A^{-1}\|_2) \leq \\ &\frac{1}{2} \alpha \|F(y)\|_2^2 + \rho_m (1 + \delta\gamma \|A^{-1}\|_2), \end{aligned}$$

下证

$$\rho_m (1 + \delta\gamma \|A^{-1}\|_2) \leq \frac{1}{2} \alpha \|F(y)\|_2^2 \quad (16)$$

1) 若 $\hat{r}_0 = \mathbf{0}$, 则 $b = q_0$,

$$\begin{aligned} \rho_0 &= \|b - A\hat{x}_0\|_2 = \|q_0 - A\hat{x}_0\|_2 = \|\varepsilon_0\|_2 \leq \\ &\frac{\gamma}{2} |\sigma_0| \|\hat{x}_0\|_2^2 \leq \frac{\gamma\beta}{2} \|\hat{x}_0\|_2^2 \leq \frac{1}{2} \alpha \|F(y)\|_2^2, \end{aligned}$$

结论成立.

2) 若 $\hat{r}_0 \neq \mathbf{0}$, $\hat{u}_1 = \hat{r}_0 / \|\hat{r}_0\|_2$, $E_1 = \varepsilon_1 \hat{u}_1^T$, 其中 $\varepsilon_1 = q_2 - A\hat{u}_1$, 由以上证明可知, $A + E_1$ 非奇异. 所以 $q_2 = (A + E_1)\hat{u}_1 \neq \mathbf{0}$, 于是得到 \hat{w}_2 .

(a) 若 $\hat{w}_2 = \mathbf{0}$, 则 $h_{21} = 0$, 由引理 2.2 得 $H_1 = \hat{u}_1^T (A + E_1) \hat{u}_1 = h_{11} \neq 0$, $\hat{z}_1 = \|\hat{r}_0\|_2 h_{11}^{-1} \hat{u}_1$ 是 $(A + E_1)z = \hat{r}_0$ 的精确解. 即 $\rho_1 = \|\hat{r}_0 - (A + E_1)\hat{z}_1\|_2 = \mathbf{0}$, 所以(16)成立.

(b) 若 $\hat{w}_2 \neq \mathbf{0}$, 得 $\hat{u}_2 \neq \mathbf{0}$, 此时得到 x_1 , 若 x_1 满足算法 2 的步骤 4, 则定理结论成立, 否则定义 $E_2 = \varepsilon^2 V_2$, 这里 $\varepsilon^2 = [\varepsilon_1, \varepsilon_2]$, $\varepsilon_2 = q_3 - A\hat{u}_2$, 同理可得 $A + E_2$ 非奇异, 因此 $q_3 = (A$

+ $E_2) \hat{u}_2 \neq 0$, 得到 \hat{w}_3 。

一般地, 若 $U_m = [\hat{u}_1, \dots, \hat{u}_m]$, \hat{w}_{m+1} 由算法 2 确定, 则 $A + E_m$ 非奇异。

若 $\hat{w}_{m+1} = 0$, 则 H_m^{-1} 存在, 且 \hat{z}_m 是精确解, 这样 $\rho_m = 0$, 则(16) 成立。

若 $\hat{w}_i \neq 0, i = 1, \dots, n$, 且存在某个 i 满足算法 2 中步骤 4, 则定理结论成立; 否则 \hat{z}_n 是 $(A + E_n)z = \hat{r}_0$ 的精确解, 所以 $\rho_n = 0$ 。

定理 2.2 设 $F: R^n \rightarrow R^n$ 是开集 $D \subseteq R^n$ 上局部 Lipschitz 映射, 设 F 在 y^* 的邻域内 1_阶半光滑, 且是正则的, 其中 $F(y^*) = 0$ 。则由 Newton_FOM 算法产生的序列 $\{y_k\}$ 局部平方收敛于 y^* 。

证明 对任意的 $y_0, \|y_0 - y^*\|_2 \leq \theta_1$, 其中 θ_1 满足定理 1.1 的条件。选取 δ_0 充分小使得 $\delta_0 \times \|A^{-1}\|_2 < \min\{1, (\alpha \|F(y_0)\|_2)/2\}$, $y_0 + v \in D, \|v\|_2 \leq \delta_0$ 成立。选 $\sigma^n = (\sigma_1, \dots, \sigma_n)^T \in R^n$, 使得 $\|\sigma^n\|_2 < \delta_0$ 。用 $\hat{x}_{0,m}$ 表示由算法 2 计算得到的第 m 步时对 x_0 的近似。为了简单起见, 设 $\hat{x}_{0,0} = 0$, 则由定理 2.1 知, 存在 $m_0 \in \{1, \dots, n\}$ 使得 $\|b - A\hat{x}_{0,m_0}\|_2 \leq \alpha \|F(y_0)\|_2^2$ 。定义 $x_0 = \hat{x}_{0,m_0}$, 则 $y_1 = y_0 + x_0$, 利用定理 1.1 知

$$\|y_1 - y^*\|_2 \leq \beta \|y_0 - y^*\|_2^2,$$

其中 $\beta > 0$ 。当 $k = n$ 时, 可类似地证明

$$\|y_k - y^*\|_2 \leq \beta \|y_{k-1} - y^*\|_2^2,$$

由数学归纳法可得 $\{y_k\}$ 局部平方收敛于 y^* 。

2.3 Newton_GMRES 算法

与 FOM 算法相似, 求解非光滑方程组(1) 的 Newton_GMRES 算法为:

算法 3(Newton_GMRES(N_G) 算法)

步骤 1 给定 $\epsilon > 0, \alpha > 0$ 。选择初始近似 $y_0 \in R^n$, 令 $k = 0$ 。

步骤 2 令 $q_0 = (F(y_k + \sigma_0 \hat{x}_0) - F(y_k))/\sigma_0, \sigma_0 > 0$, 其中 \hat{x}_0 是线性方程组(8) 的解的初始近似。 $\hat{r}_0 = -F(y_k) - q_0, \beta = \|\hat{r}_0\|_2, \hat{u}_1 = \hat{r}_0/\beta, q_1 = \hat{u}_1, j = 0$ 。

步骤 3 $j = j + 1$ 。

$$q_{j+1} = (F(y_k + \varrho \hat{u}_j) - F(y_k))/\varrho, \varrho > 0, h_{\hat{j}} = (q_{j+1}, \hat{u}_i), \quad i = 1, \dots, j,$$

$$\hat{w}_{j+1} = q_{j+1} - \sum_{i=1}^j h_{\hat{j}} \hat{u}_i, h_{j+1,j} = \|\hat{w}_{j+1}\|_2, \hat{u}_{j+1} = \hat{w}_{j+1}/h_{j+1,j}。$$

定义 $(j+1) \times j$ Hessenberg 矩阵 \hat{H}_j , 其非零元为 $h_{ij}, U_j = [\hat{u}_1, \hat{u}_2, \dots, \hat{u}_j]$ 。求解极小化问题

$$\min_{d \in R^j} \|\beta e_1 - \hat{H}_j d\|_2 \quad (17)$$

其中 $e_1 = (1, 0, \dots, 0)^T$ 是 $j+1$ 维单位向量, 记 d_j 为(17) 的解。计算 $x_j = x_0 + U_j d_j, \varrho = \|\hat{r}_j\|_2 = \|F(y_k) + (F(y_k + \varrho \hat{x}_j) - F(y_k))/\varrho\|_2$ 。

步骤 4 若 $\varrho \leq \alpha \|F(y_k)\|_2^2$ 或 $j = n$, 则令 $m = j$ 且做下一步, 否则转步骤 3。

步骤 5 令 $y_{k+1} = y_k + x_m$ 。

步骤 6 若 $\|F(y_{k+1})\|_2 \leq \epsilon$, 结束。否则, $k = k + 1$, 转步骤 2。

类似于定理 2.2, 可证明:

定理 2.3 设 $F: R^n \rightarrow R^n$ 是开集 $D \subseteq R^n$ 上局部 Lipschitz 映射, 设 F 在 y^* 的邻域内 1_阶

半光滑, 且是正则的, 其中 $F(y^*) = \mathbf{0}$. 则由 Newton_GMRES 算法产生的序列 $\{y_k\}$ 局部平方收敛于 y^* .

3 数值例子

考虑非线性互补问题: 求 $y \in R^n$ 使得

$$y \geq \mathbf{0}, H(y) \geq \mathbf{0}, y^T H(y) = \mathbf{0}, \quad (18)$$

可以证明^[4], 问题(18)等价于下述非线性方程组:

$$F(y) = \min(y, H(y)) = \mathbf{0} \quad (19)$$

的求解问题.

方程组(19)是一个半光滑方程组, 因此可利用求解非光滑方程组的算法来求解互补问题.

下面, 基于等价非光滑方程组(19), 用算法 2 和算法 3 求解两个互补问题. 在数值计算中, 我们取 $\epsilon = 10^{-6}$, $\alpha_m = 10^{-4}(\|y_k\|_2 / \|u_m\|_2)$, $\alpha = 1/2$.

例 3.1 非线性互补问题

$H(y) = c(y) + Ay + b$, 其中 $b = (-n/2, -n/2+1, \dots, -n/2+n-1)^T$, $c(y) = (c_1(y_1), c_2(y_2), \dots, c_n(y_n))^T$, $c_i(y_i) = 10 \times \arctan(y_i)$, $i = 1, 2, \dots, n$,

$$A = \begin{pmatrix} 2.5 & -1 & & & \\ -1 & 2.5 & -1 & & \\ & & \ddots & \ddots & \\ & & & -1 & 2.5 & -1 \\ & & & & -1 & 2.5 \end{pmatrix}.$$

对不同的规模和初值, 我们计算了上述问题. 计算结果见表 1, 其中 y_0 是给定的初始值, D_n 是问题的维数.

表 1 不同规模问题的迭代步数

y_0	(1, ..., 1)		(10, ..., 10)		(100, ..., 100)		(1, 1, 0, ..., 0, 1, 1)		(1 000, ..., 1 000)	
	N_F	N_G	N_F	N_G	N_F	N_G	N_F	N_G	N_F	N_G
$D_n = 50$	6	6	8	8	18	18	7	7	18	18
$D_n = 100$	6	6	8	8	18	18	7	7	18	18
$D_n = 200$	8	7	8	8	18	18	7	7	18	18
$D_n = 500$	9	8	9	10	19	19	7	8	20	19

特别对于 100 维问题, 取初值为 $(1, \dots, 1)$, $(1\ 000, \dots, 1\ 000)$, 图 1, 图 2 显示了 $\lg(\|F(y)\|_2)$ 与迭代步数的关系.

例 3.2 线性互补问题

$H(y) = My + q$, 其中 $q = (-1, 0, \dots, -1)^T$,

$$M = \begin{pmatrix} 4 & -1 & & & \\ -1 & 4 & -1 & & \\ & & \ddots & \ddots & \\ & & & -1 & 4 & -1 \\ & & & & -1 & 4 \end{pmatrix}.$$

表 2 给出了不同规模的迭代步数, 其中 y_0 是给定的初始值, D_n 是问题的维数, “*” 表示不

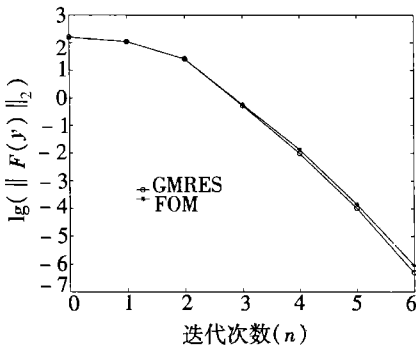


图1 $D_n = 100, y_0 = (1, \dots, 1)$

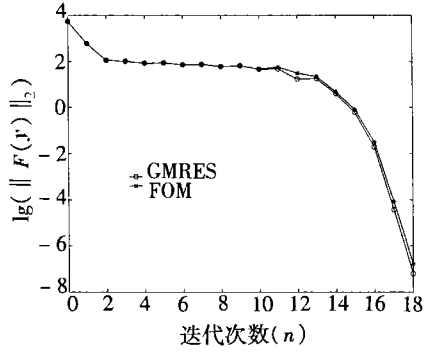


图2 $D_n = 100, y_0 = (1000, \dots, 1000)$

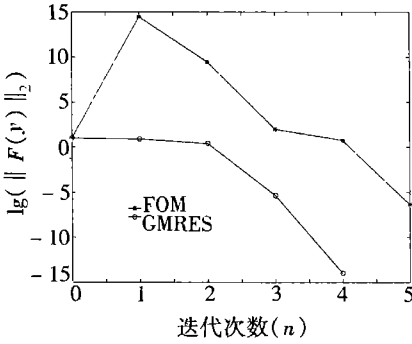


图3 $D_n = 100, y_0 = (1, \dots, 1)$

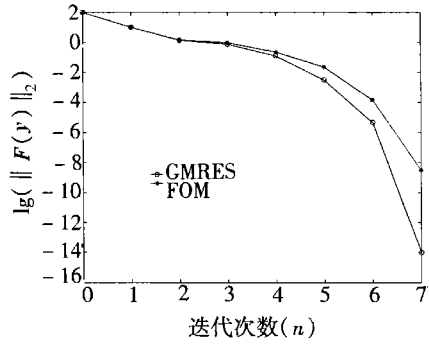


图4 $D_n = 100, y_0 = (10, \dots, 10)$

收敛

表2 不同规模问题的迭代步数

y_0	$(1, \dots, 1)$		$(10, \dots, 10)$		$(100, \dots, 100)$		$(1, 1, 0, \dots, 0, 1, 1)$		$(1000, \dots, 1000)$	
	N_F	N_G	N_F	N_G	N_F	N_G	N_F	N_G	N_F	N_G
$D_n = 50$	*	3	7	7	6	6	3	3	6	6
$D_n = 100$	5	4	7	7	36	6	3	3	6	6
$D_n = 200$	20	4	7	6	26	*	3	3	6	6
$D_n = 500$	5	4	7	6	70	6	3	3	6	6

特别对于 100 维问题, 取初值为 $(1, \dots, 1), (10, \dots, 10)$, 图 3, 图 4 显示了例 3.2 的 $\lg(\|F(y)\|_2)$ 与迭代步数的关系。

[参考文献]

[1] QI Li_qun, SUN Ji_e. A nonsmooth version of Newton's method[J]. Mathematical Programming, 1993, 58(3): 353—367.

[2] Clarke Frank H. Optimization and Nonsmooth Analysis [M]. New York Wiley, 1983, 69—70.

[3] Harker Patrick T, XIAO Bai_chun. Newton's method for the nonlinear complementarity problem: a B-differentiable equation approach[J]. Mathematical Programming, 1990, 48(3): 339—357.

[4] IP Chi_ning, Kyparisis Jerzy. Local convergence of quasi-Newton methods for B-differentiable equations[J]. Mathematical Programming, 1992, 56(1): 71—89.

[5] Martinez Jos_mario, QI Li_qun. Inexact Newton methods for solving nonsmooth equations[J]. Journal of Computational and Applied Mathematics, 1995, 60(1/2): 127—145.

- [6] PANG Jong_shi, QI Li_qun. Nonsmooth equations: motivation and algorithms[J]. SIAM Journal on Optimization, 1993, 3(2): 443—465.
- [7] PANG Jong_shi. Newton's method for B-differentiable equations[J]. Mathematical of Operations Research, 1990, 15(2): 311—341.
- [8] QI Li_qun. Convergence analysis of some algorithms for solving nonsmooth equations[J]. Mathematical of Operations Research, 1993, 18(1): 227—244.
- [9] Brown Peter N. Local convergence theory for combined inexact Newton/finite-difference projection methods[J]. SIAM Journal on Numerical Analysis, 1987, 24(2): 407—433.
- [10] Brown Peter N, Saad Youcef. Convergence theory of nonlinear Newton-Krylov algorithms[J]. SIAM Journal on Optimization, 1994, 4(2): 297—330.
- [11] Brown Peter N, Saad Youcef. Hybrid Krylov methods for nonlinear systems of equations[J]. SIAM Journal on Scientific Computing, 1990, 11(3): 450—481.

Nonlinear Krylov Subspace Methods for Solving Nonsmooth Equations

MENG Ze_hong, ZHANG Jian_jun

(Department of Mathematics, Shanghai University,
Shanghai 200444, P. R. China)

Abstract: Newton_FOM algorithm and Newton_GMRES algorithm for solving nonsmooth equations are presented. It is proved that these Krylov subspace algorithms have locally quadratic convergence. Numerical experiments demonstrate the effectiveness of the algorithms.

Key words: nonsmooth equations; Newton_FOM algorithm; Newton_GMRES algorithm